

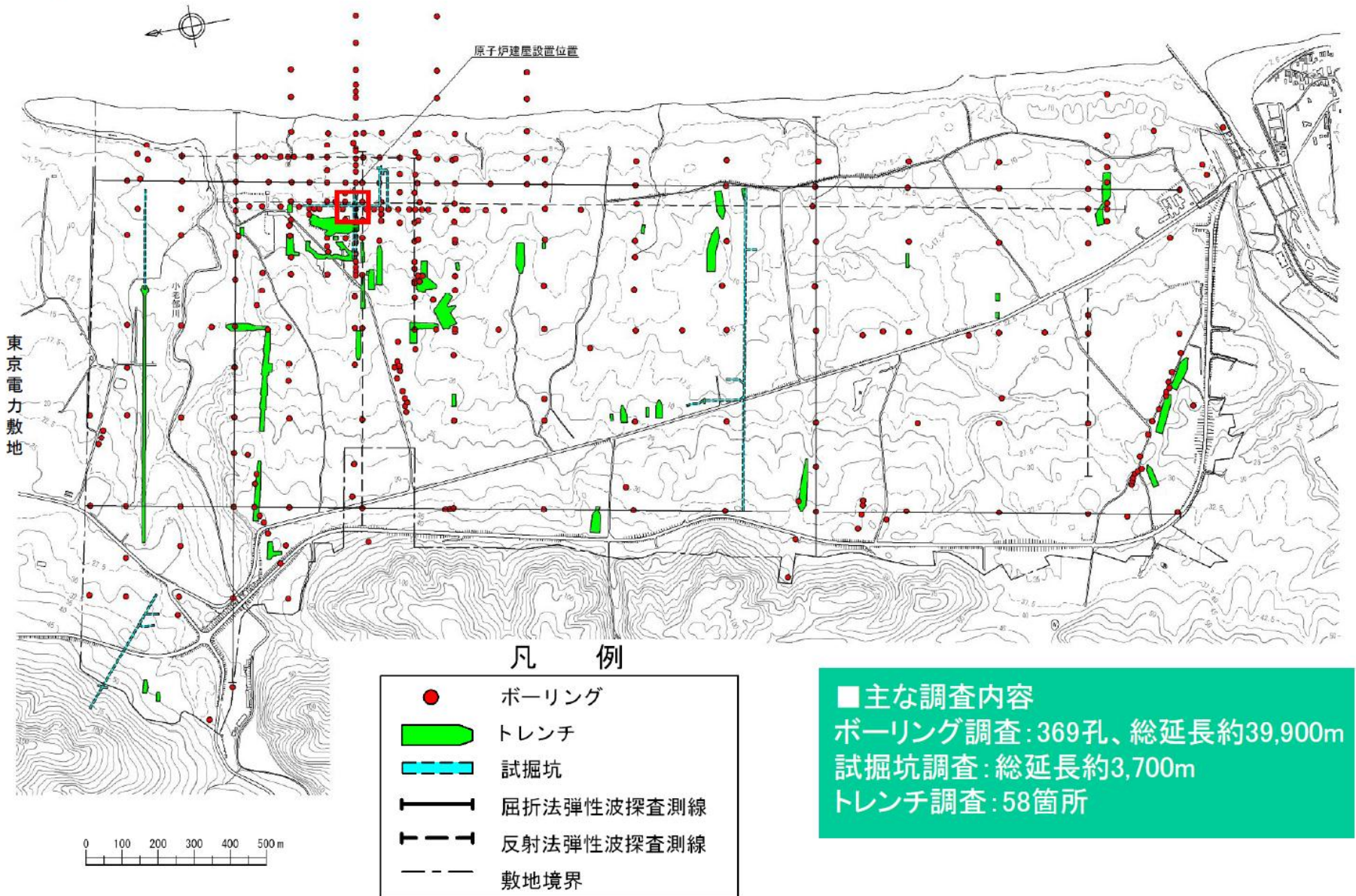
東北電力株式会社 東通原子力発電所

敷地内断層の活動性等の評価に係る追加地質調査  
(実施状況報告)参考資料

平成24年11月29日

東北電力株式会社

# ○敷地内地質調査位置図



# ○地質層序

## 敷地の地質層序表（新第三系）

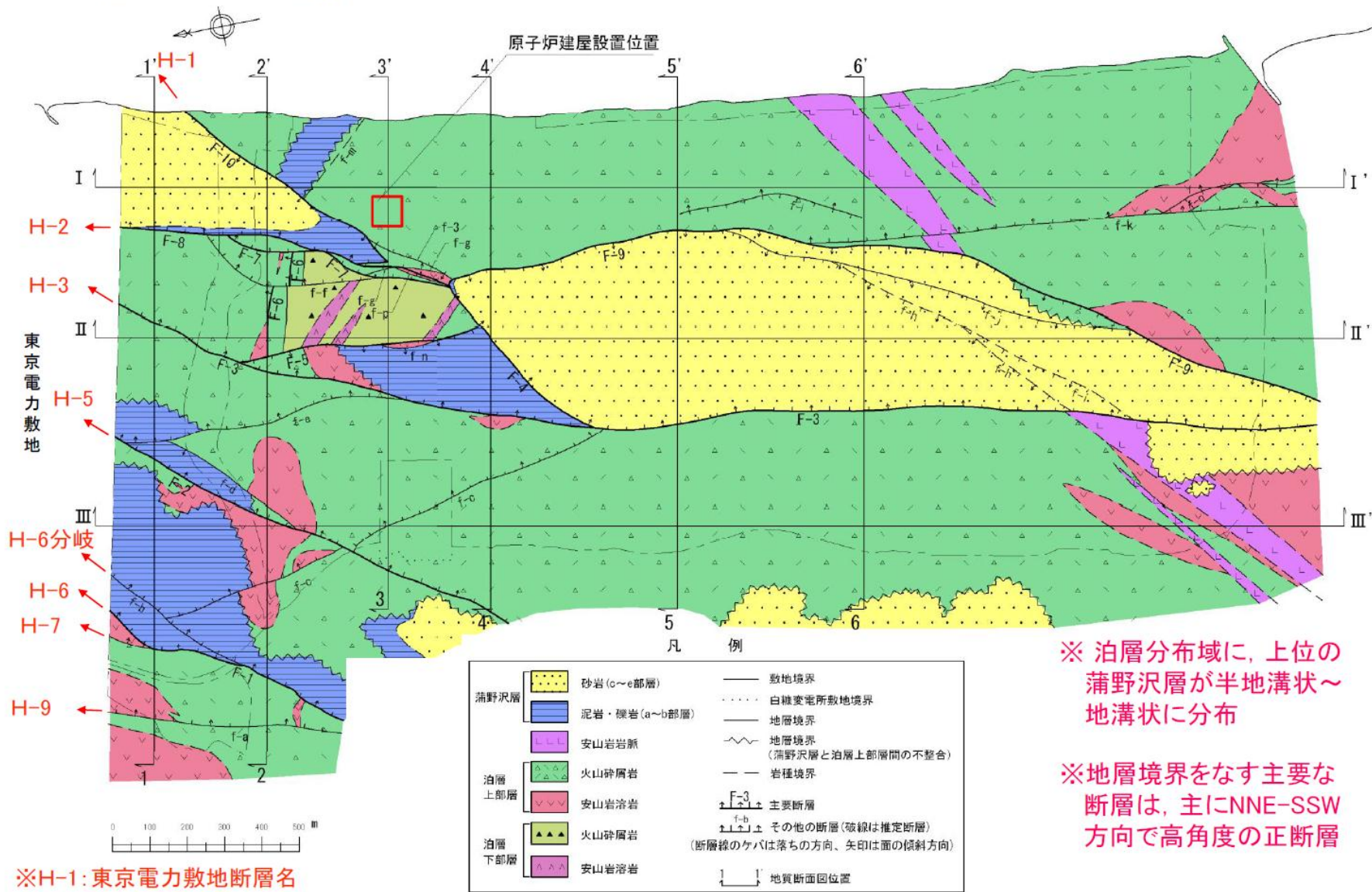
地質時代	地層名	主要岩相		
第四紀	第四系	未固結～半固結の砂礫, 砂, 粘性土, ローム		
新第三系	中期	e 部層	細粒～中粒砂岩, 極細粒砂岩・シルト砂岩五層(リガリアスを含む)	
		d 部層	細礫岩・粗粒砂岩五層, 極細粒～中粒砂岩, 凝灰岩	
		c 部層	中粒～粗粒砂岩(貝殻片を含む), 細粒砂岩, 礫岩	
		b 部層	泥岩(亜炭, カキ床, 凝灰岩を挟む), 中粒～粗粒砂岩(亜炭, 凝灰岩を挟む), 礫岩	
		a 部層	礫岩, 中粒～粗粒砂岩, 砂混じり泥岩	
	前期	泊層上部層	安山岩溶岩	安山岩
			凝灰角礫岩 火山礫凝灰岩 凝灰岩	
		泊層下部層	泥岩	安山岩溶岩
			安山岩溶岩 凝灰角礫岩 粗粒砂岩	凝灰角礫岩 火山礫凝灰岩 凝灰岩
			猿ヶ奔層	

~~~~ 不整合      → 指交関係

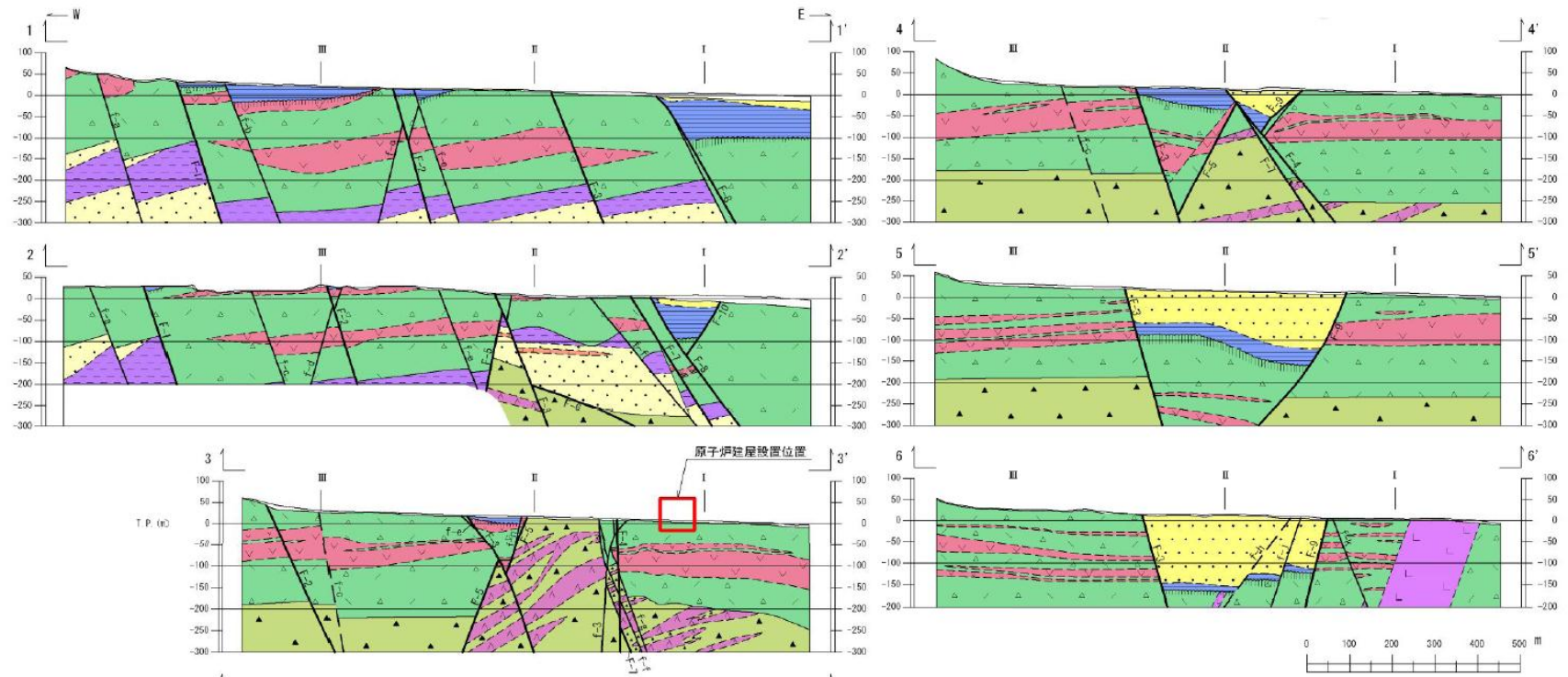
## 敷地の地質層序表（第四系）

| 地質時代 | 地層名                      | 層相                                | 火山灰(年代)                              |                                   |
|------|--------------------------|-----------------------------------|--------------------------------------|-----------------------------------|
| 完新世  | 海浜堆積物<br>新砂丘堆積物<br>崖錐堆積物 | 細粒～中粒砂<br>粗粒～中粒砂<br>ローム<br>礫・二次堆積 |                                      |                                   |
|      | 低地堆積物                    | 礫, 砂, シルト, 腐植土                    |                                      |                                   |
| 更新世  | F <sub>3</sub> 扇状地堆積物    | シルト<br>砂礫・中粒～粗粒砂                  | 粘土<br>質<br>シルト<br>・<br>腐植<br>質<br>粘土 |                                   |
|      |                          |                                   |                                      | 河床段丘                              |
|      | F <sub>2</sub> 扇状地堆積物    | シルト<br>砂礫・中粒～粗粒砂                  | 粘土<br>質<br>シルト<br>・<br>腐植<br>質<br>粘土 | 十和田ビスケット1<br>火山灰層<br>(約3.2万年前)    |
|      |                          |                                   |                                      |                                   |
|      | M <sub>2</sub> 面段丘堆積物    | シルト<br>細粒～中粒砂<br>砂礫               | 粘土<br>質<br>シルト<br>・<br>腐植<br>質<br>粘土 | 十和田レッド<br>礫石層<br>(約8万年前)          |
|      |                          |                                   |                                      |                                   |
|      | M <sub>1</sub> ' 面段丘堆積物  | 細粒～中粒砂<br>砂礫                      | 粘土<br>質<br>シルト<br>・<br>腐植<br>質<br>粘土 | 阿蘇4火山灰層<br>(約9万年前～<br>約9.5万年前)    |
|      |                          |                                   |                                      |                                   |
|      | M <sub>1</sub> 面段丘堆積物    | 細粒～中粒砂<br>砂礫                      | 粘土<br>質<br>シルト<br>・<br>腐植<br>質<br>粘土 | 洞爺火山灰層<br>(約11.5万年前～<br>約11.2万年前) |
|      |                          |                                   |                                      |                                   |

# ○敷地の地質構造平面図



# ○敷地の地質断面図(東西方向)



## 凡 例

|      |         |      |     |          |                    |                 |
|------|---------|------|-----|----------|--------------------|-----------------|
| 第四系  | □       | 油層   | ▲▲▲ | 火山砕屑岩    | —                  | 地層境界            |
| 蒲野沢層 | ●●●     | 下部層  | ▲▲▲ | 安山岩溶岩    |                    | 地層境界            |
|      | (c~c部層) | 猿ヶ森層 | ■   | 泥岩       | (ケバの長さは風化帯の厚さを示す。) | ---             |
|      | 泥岩・煤岩   |      | ●●● | 砂岩・軽石凝灰岩 | F-3                | 主要断層            |
|      | (a~b部層) |      | ■   | 安山岩溶岩    | f-b                | その他の断層(破線は推定断層) |
|      | 安山岩岩脈   |      |     |          |                    | 地質断面交差点         |
| 油層   | ▲▲▲     |      |     |          |                    |                 |
| 上部層  | ▲▲▲     |      |     |          |                    |                 |
|      | 安山岩溶岩   |      |     |          |                    |                 |

※主要な断層は、正断層の形態・地質分布が明瞭であり、逆断層として反転した形跡は認められない

# 表1 追加地質調査の概要

| 目的                                             | 調査内容                                                                                       | 調査箇所            | 検討内容                                                                                                                            |
|------------------------------------------------|--------------------------------------------------------------------------------------------|-----------------|---------------------------------------------------------------------------------------------------------------------------------|
| F-3断層近傍の<br>斜面地形のデータ<br>拡充                     | ・トレンチ調査                                                                                    | ①<br>(Tr-28)    | <ul style="list-style-type: none"> <li>・斜面地形の範囲で、断層の有無および活動性を確認</li> <li>・F-3断層の位置および第四系の状況の確認</li> </ul>                       |
|                                                | ・ボーリング調査                                                                                   | ⑧               |                                                                                                                                 |
| 小断層s-19の地下深部への連続性確認                            | <ul style="list-style-type: none"> <li>・物理探査<br/>(反射法地震探査<br/>および地中レー<br/>ダー探査)</li> </ul> | ⑥<br>(A測線)      | <ul style="list-style-type: none"> <li>・小断層s-19の地下深部への連続性の有無を確認</li> <li>・小断層s-19を含む敷地横断方向での地質構造(主要な断層の地下深部への連続性)を確認</li> </ul> |
|                                                | ・ボーリング調査                                                                                   | ②, ③            | ・物理探査結果の補足・検証として、泊層の地質構造の確認                                                                                                     |
|                                                | ・トレンチ調査                                                                                    | ④<br>(Tr-20'-3) | ・物理探査結果の補足・検証として、F-3断層とF-9断層の間の蒲野沢層の地質構造および第四系の状況の確認                                                                            |
| 小断層s-19と同様の性状にあることから、小断層s-14の地下深部への連続性および性状の確認 | <ul style="list-style-type: none"> <li>・物理探査<br/>(反射法地震探査<br/>および地中レー<br/>ダー探査)</li> </ul> | ⑦<br>(B測線)      | <ul style="list-style-type: none"> <li>・小断層s-14の地下深部への連続性の有無を確認</li> <li>・小断層s-14を含む敷地横断方向での地質構造(主要な断層の地下深部への連続性)を確認</li> </ul> |
|                                                | ・トレンチ調査                                                                                    | ⑤<br>(Tr-29)    | ・小断層s-14の性状を再確認                                                                                                                 |

# 調査位置図

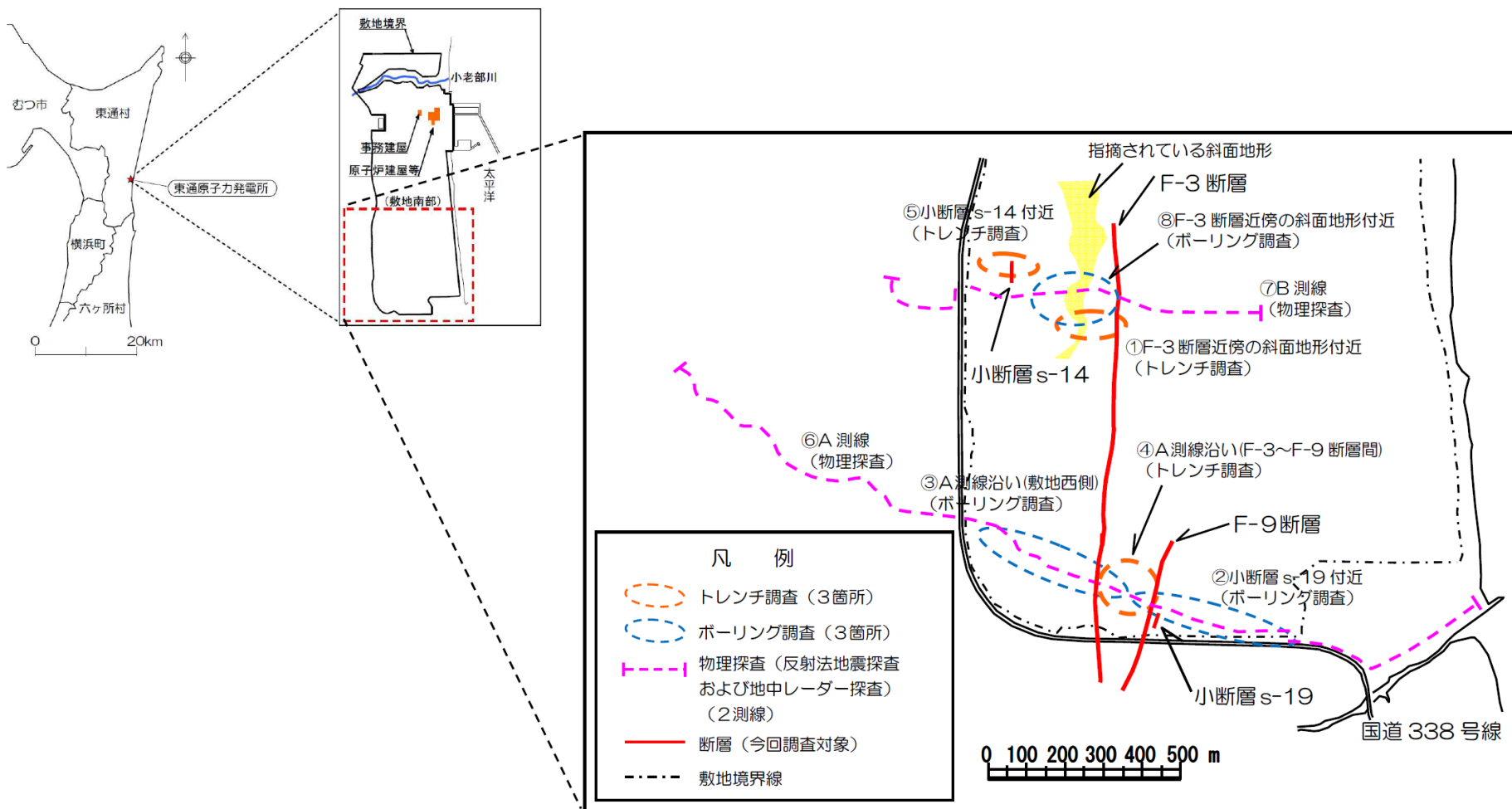


図1 調査位置図

# 調査位置図(詳細)

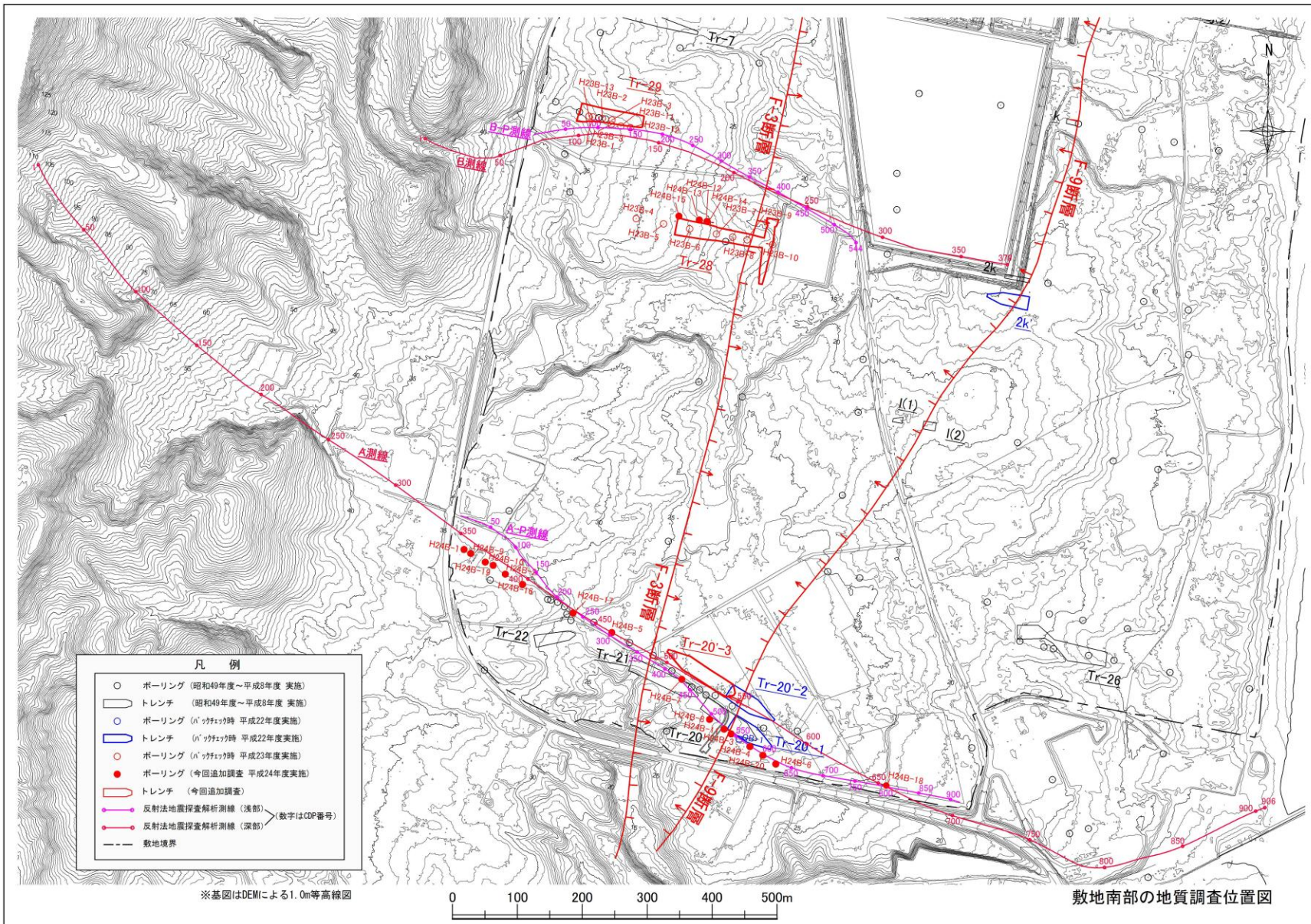


図2 調査位置図(詳細)

# 表2 全体工程表

平成24年11月29日

| 目的                                                             | 調査箇所         | 調査内容                             | 工 程      |       |         |         |       |         |       |    |    |    |
|----------------------------------------------------------------|--------------|----------------------------------|----------|-------|---------|---------|-------|---------|-------|----|----|----|
|                                                                |              |                                  | 平成24年    |       |         |         |       |         | 平成25年 |    |    |    |
|                                                                |              |                                  | 6月       | 7月    | 8月      | 9月      | 10月   | 11月     | 12月   | 1月 | 2月 | 3月 |
|                                                                |              |                                  | (準備・まとめ) |       |         | ▽実施状況報告 |       |         | 報告▽   |    |    |    |
|                                                                |              |                                  | 準備       |       |         | まとめ     |       |         | まとめ   |    |    |    |
| F-3断層近傍の<br>斜面地形のデータ拡充                                         | ①<br>(Tr-28) | トレンチ調査                           |          |       | 掘削      |         |       | 観察・分析   |       |    |    | ※2 |
|                                                                | ⑧            | ボーリング調査                          |          |       |         | ボーリング   |       | コア観察・分析 |       |    |    | ※2 |
| 小断層s-19の<br>地下深部への<br>連続性確認                                    | ⑥<br>(A測線)   | 物理探査<br>(反射法地震探査<br>および地中レーダー探査) |          | 物理探査  |         |         | 解析・解釈 |         |       |    |    | ※3 |
|                                                                | ②            | ボーリング調査                          |          | ボーリング |         | ボーリング   |       | コア観察・解析 |       |    |    | ※2 |
|                                                                |              |                                  |          | ボーリング |         | ボーリング   |       |         |       |    | ※2 |    |
|                                                                | ③            |                                  |          |       | コア観察・解析 |         |       |         |       |    |    |    |
| ④<br>(Tr-20-3)                                                 | トレンチ調査       |                                  | 掘削       |       |         | 観察・分析   |       |         |       |    | ※2 |    |
| 小断層s-19と同様の<br>性状にあることから、<br>小断層s-14の<br>地下深部への連続性<br>および性状の確認 | ⑦<br>(B測線)   | 物理探査<br>(反射法地震探査<br>および地中レーダー探査) |          | 物理探査  |         | 物理探査    |       | 解析・解釈   |       |    |    | ※3 |
|                                                                | ⑤<br>(Tr-29) | トレンチ調査                           |          | 掘削    |         |         | 観察・分析 |         |       |    |    | ※2 |

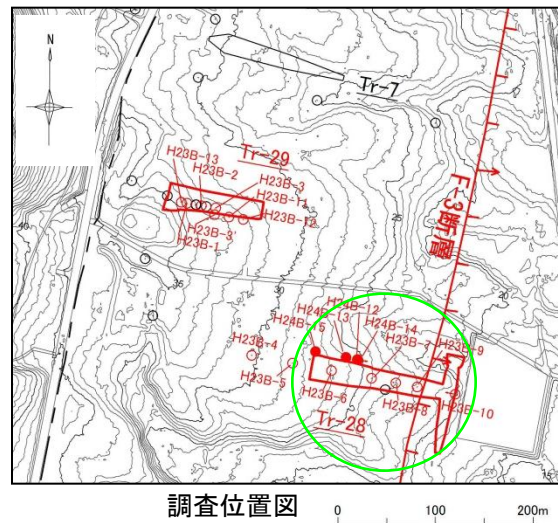
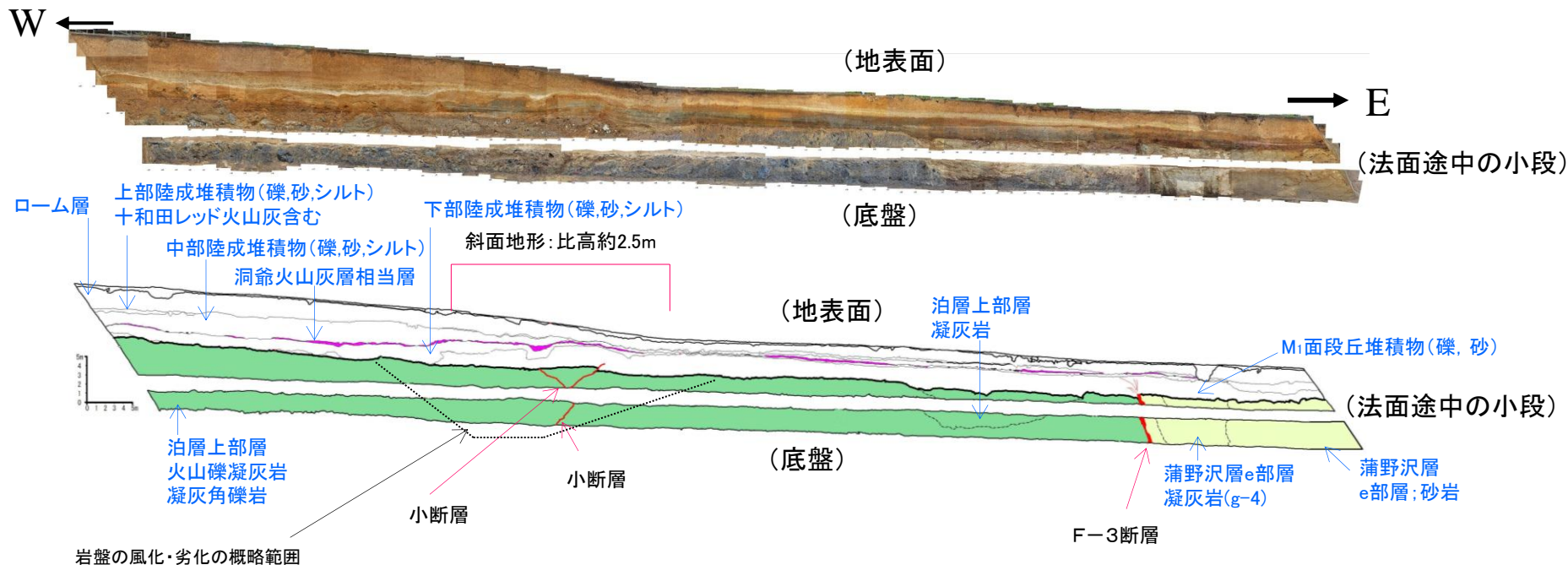
凡例  
 ■: 実績  
 □: 予定

- ※1: 調査内容・工程については、調査の状況に応じて変更する場合があります。  
また、更なる工程短縮について、継続して検討していく。
- ※2: 詳細な観察およびデータ整理を行うとともに、他の調査結果とあわせて検討していく。
- ※3: 現場作業を終了しているが、実施中のボーリング調査およびトレンチ調査の結果も踏まえた解釈・検討を行っていく。

# 1. F-3断層近傍の斜面 地形に関する調査状況

トレンチ調査① (Tr-28)  
ボーリング調査⑧

# Tr-28トレンチ(北面)調査結果概要



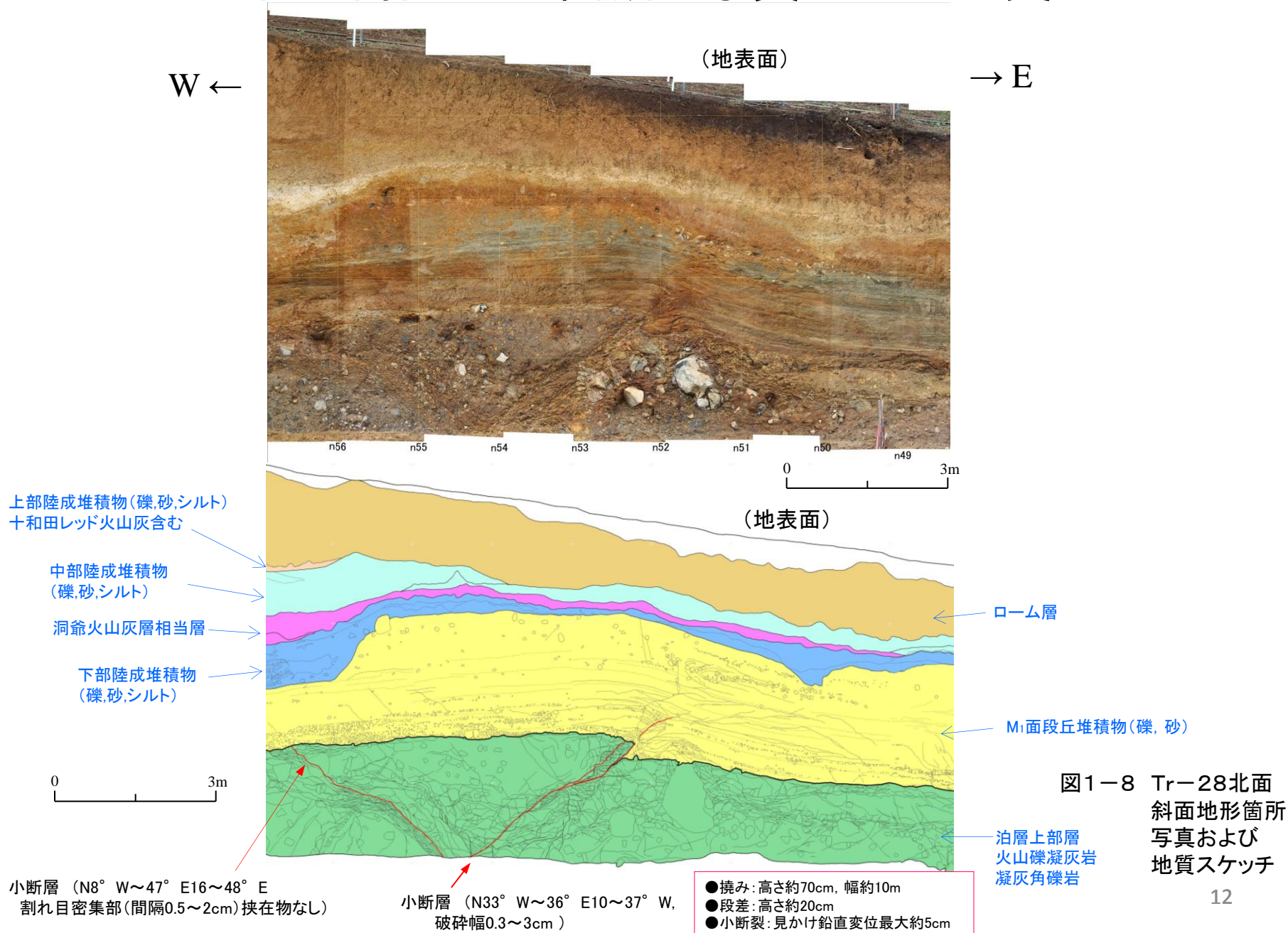
※基図はDEMIによる1.0m等高線図

## 【調査結果】

- F-3断層は、その位置が斜面地形から離れている。
- F-3断層を覆う第四系には変状が確認された。この変状は、これまで他の箇所  
で確認された第四系の変状と同様に、第四系基底面の段差、第四系中の小断裂、  
撓みおよび粘土の第四系への注入である。
- 泊層上部層を覆う第四系には、複数箇所に変状が確認された。変状箇所近傍の  
岩盤は周囲に比較して風化・劣化し、変状はこの劣化部の位置に対応して撓み  
を主体とする。
- 斜面地形付近には第四系の変状を示す小断層が認められるものの、斜面地形付  
近を境として東西両側の岩盤上面には大きな高度差がない。一方、洞爺火山灰層  
より上位の陸成堆積物及びローム層が西側で厚い。

図1-9 Tr-28トレンチ(北面)調査結果概要

# Tr-28北面 斜面地形箇所 写真および地質スケッチ



# Tr-28北面 F-3断層付近拡大図

W ←

→ E

(地表面)



(法面途中の小段)



- 撓み: 高さ約20cm, 幅約6m
- 段差: 高さ約20cm
- 小断裂: 見かけ鉛直変位最大約10cm
- 粘土注入: 高さ約7cm

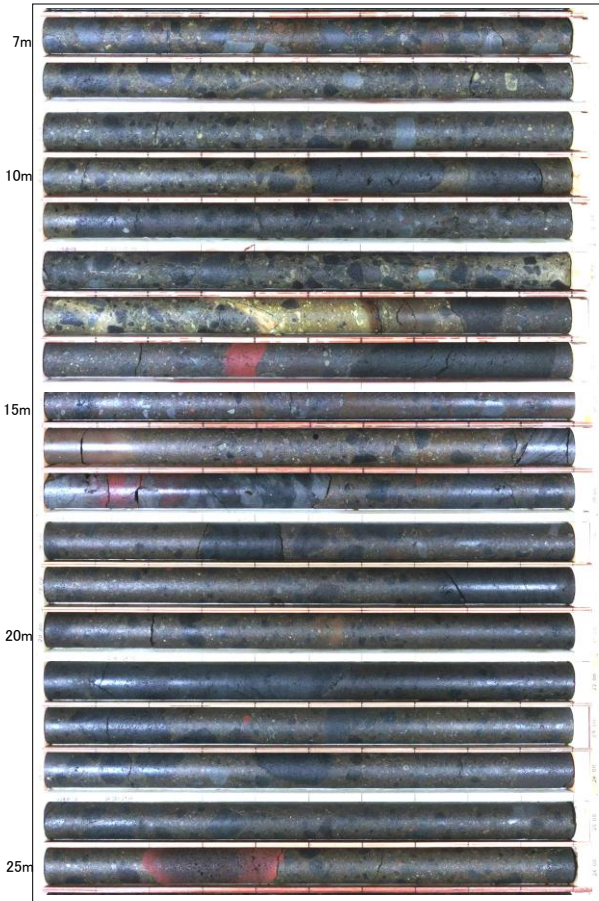
F-3断層 (N2~27° E55~75° E, 破碎幅10~50cm)

図1-6 Tr-28北面 F-3断層付近拡大図



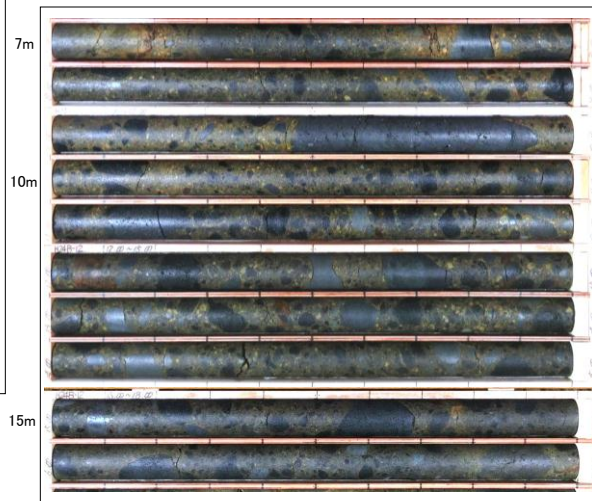
# 斜面地形箇所にて認められる小断層の連続性確認(2)

H24B-13孔 コア写真(7~26m)



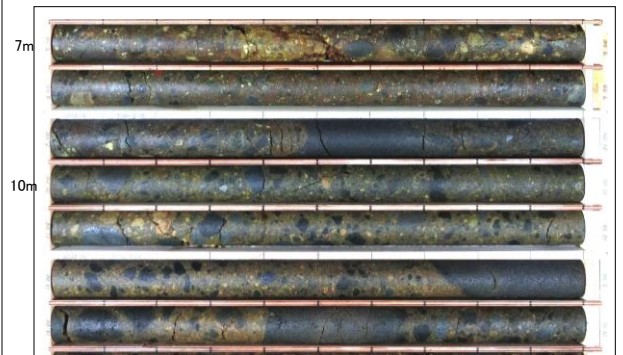
斜面地形の小断層延長部付近：  
斜面地形の小断層に相当する破砕部は認められない。

H24B-12孔 コア写真(7~17m)



斜面地形の小断層延長部付近：  
斜面地形の小断層に相当する破砕部は認められない。

H24B-14孔 コア写真(7~14m)



斜面地形の小断層延長部付近：  
斜面地形の小断層に相当する破砕部は認められない。

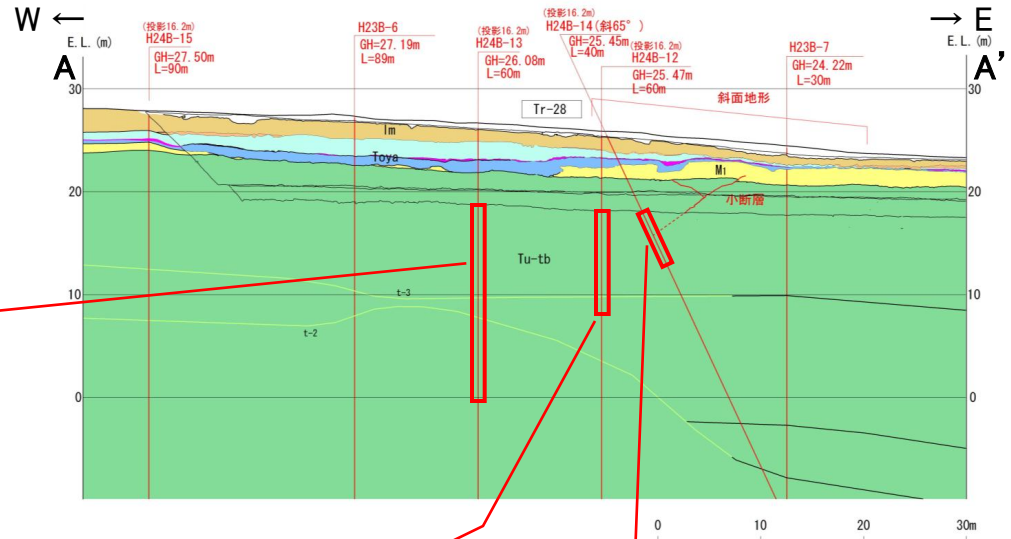
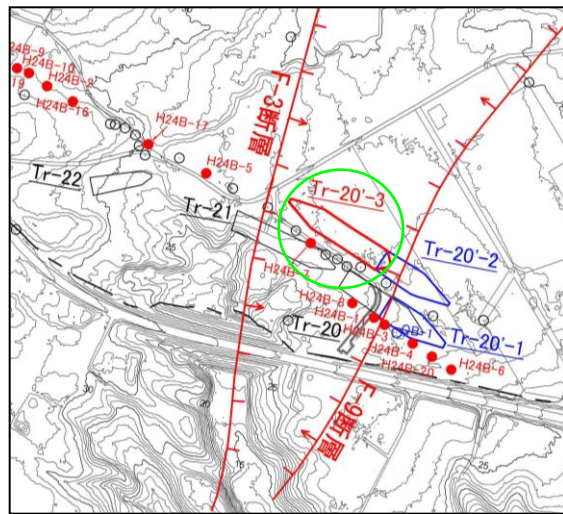
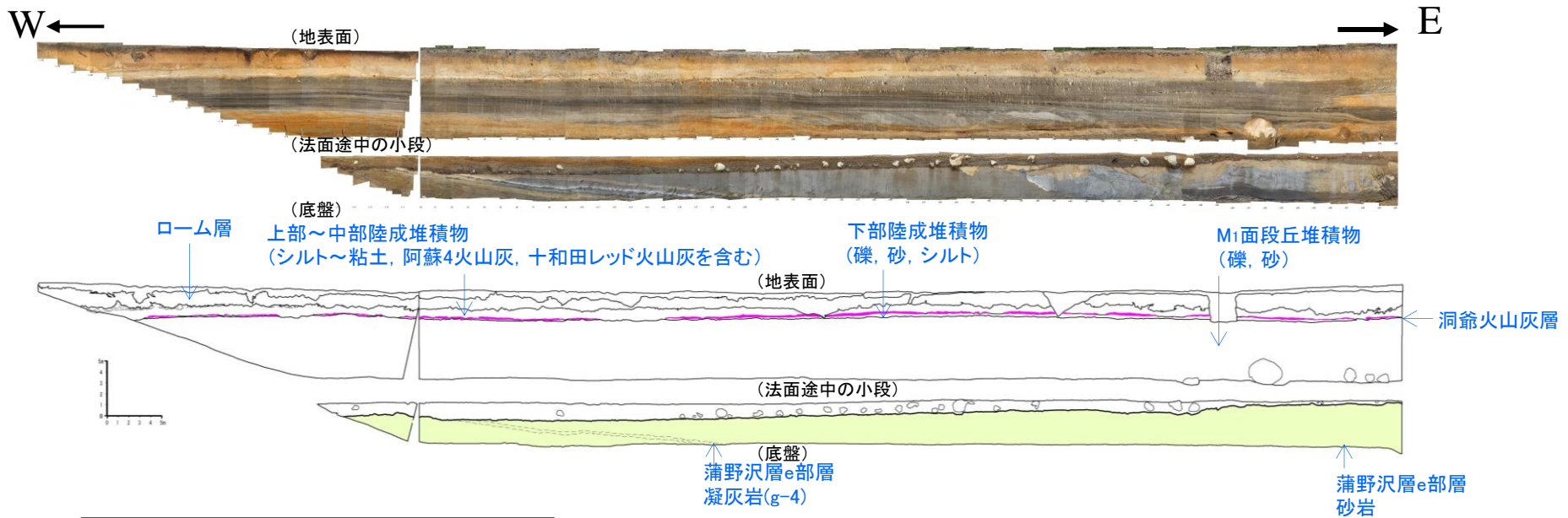


図1-11 斜面地形箇所にて認められる小断層の連続性確認(2)

## 2. 小断層s-19の地下 深部への連続性確認に 関する調査状況

トレンチ調査④ (Tr-20'-3)  
既存トレンチ (Tr-20'-2)  
ボーリング調査②・③

# Tr-20'-3トレンチ(北面)調査結果概要



※基図はDEMIによる1.0m等高線図

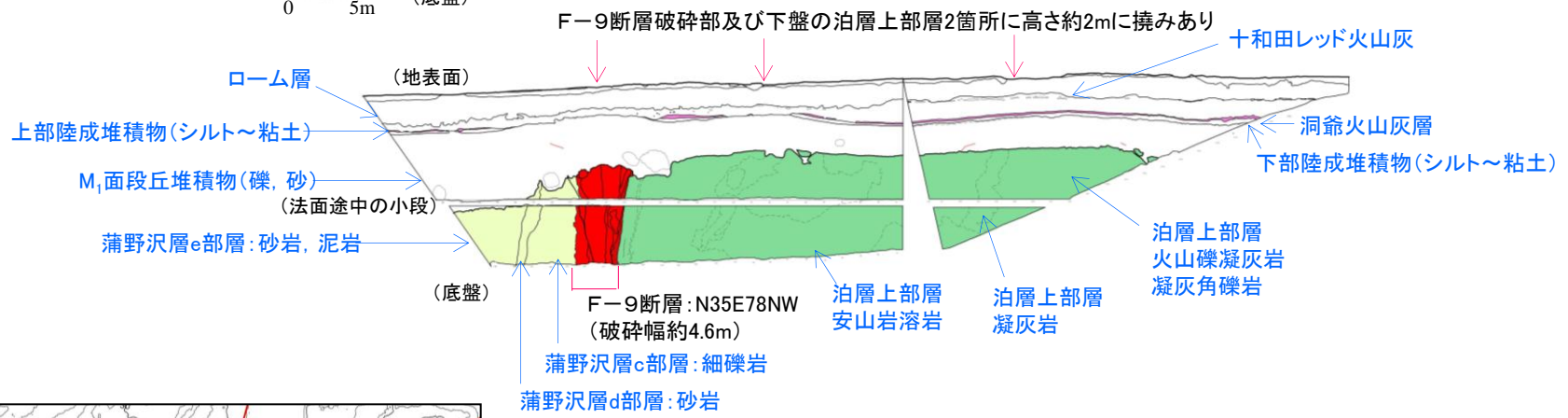
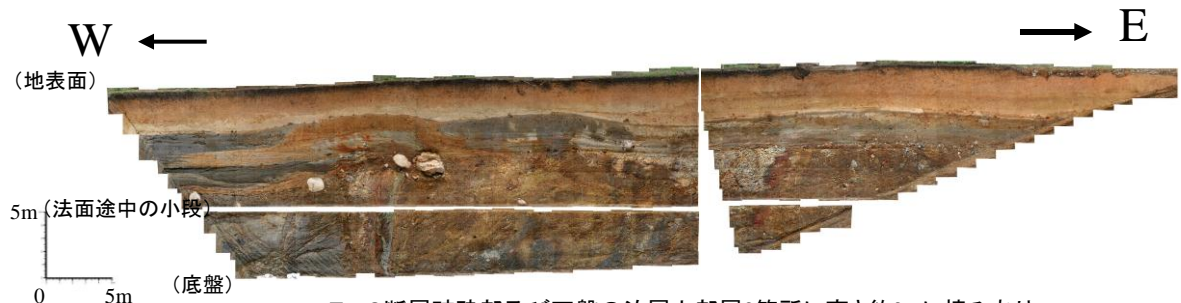
調査位置図

## 【調査結果】

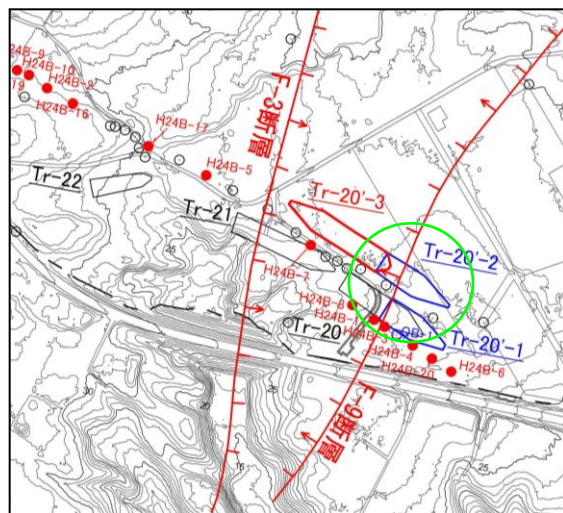
- F-9断層西側の蒲野沢層は $5^{\circ}$ ～ $11^{\circ}$ で東側に傾斜し、地層分布を規制する規模の断層は確認されなかった。
- M1面段丘堆積物及び洞爺火山灰、阿蘇4火山灰、十和田レッド火山灰を含む陸成堆積物は僅かに東側に傾斜している。
- 蒲野沢層には第四系に変位、変形を及ぼす断層及び第四系の撓みは確認されなかった。

図2-9 Tr-20'-3トレンチ(北面)調査結果概要

# Tr-20'-2トレンチ(北面)調査結果(参考)



●F-9断層西側(上盤側)の蒲野沢層分布域では、第四系基底面が東側(下盤側)に比較して低くなっており、M<sub>1</sub>面段丘堆積物が厚くなっている。



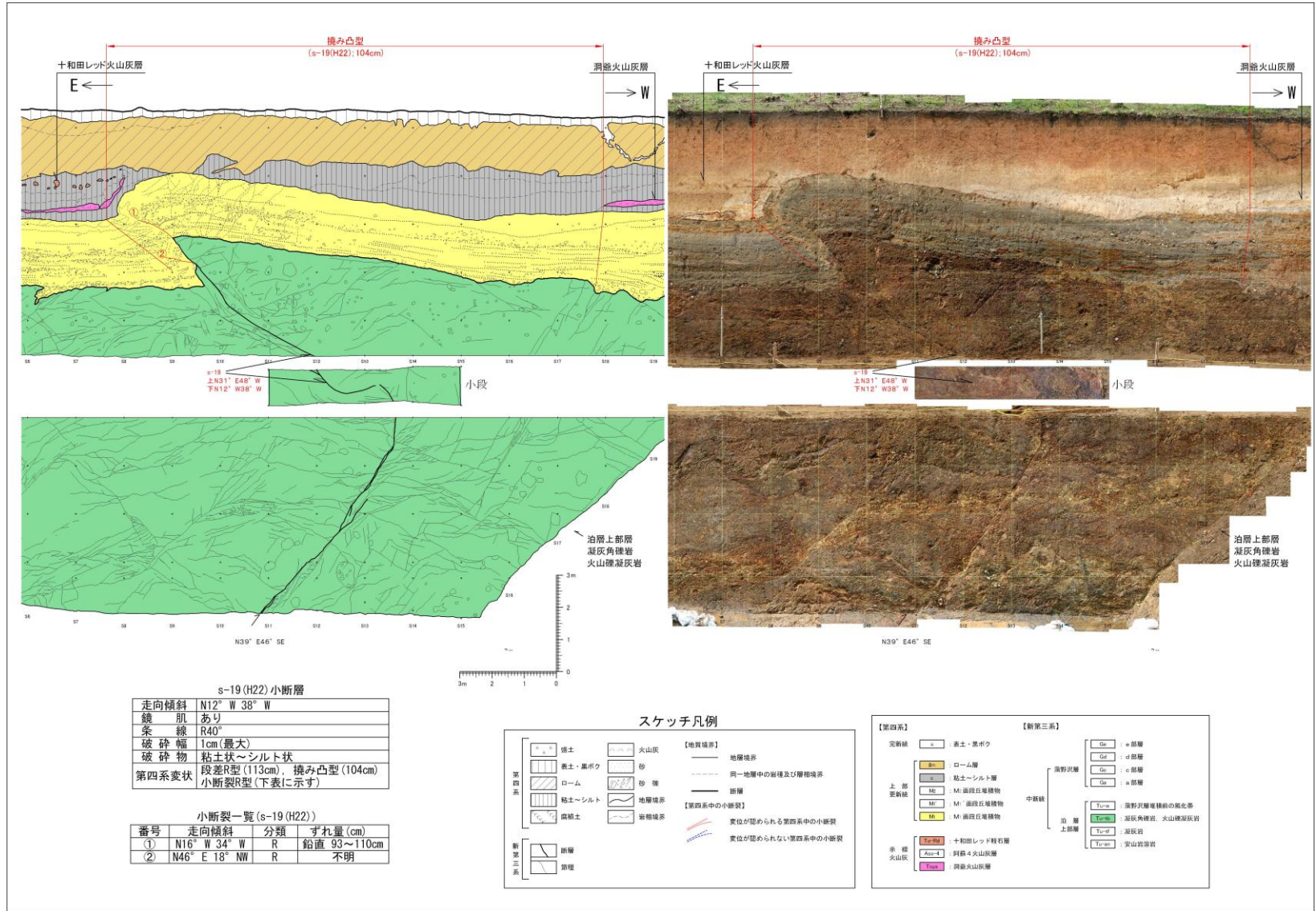
※基図はDEMによる1.0m等高線図

0 100 200m

調査位置図

図2-10 Tr-20'-3トレンチ(北面)調査結果(参考)

# 小断層s-19 (Tr-20'-1南面・段差, 小断裂, 撓み)



# 小断層s-19の連続性確認

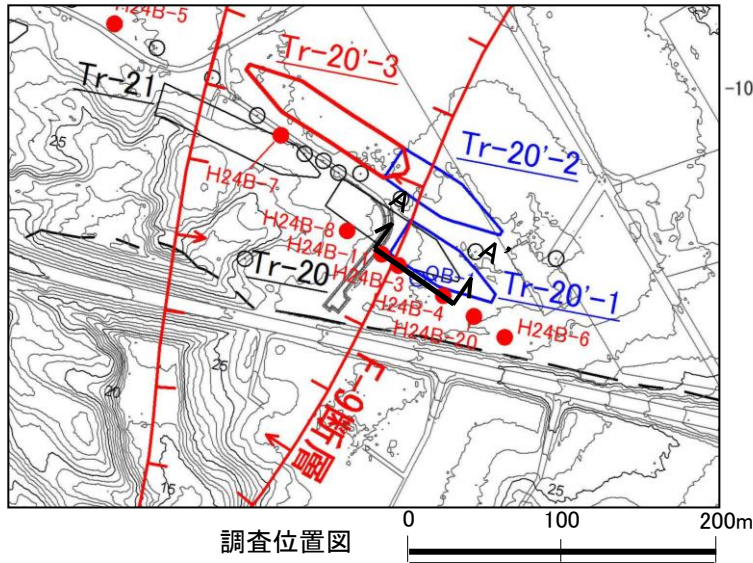
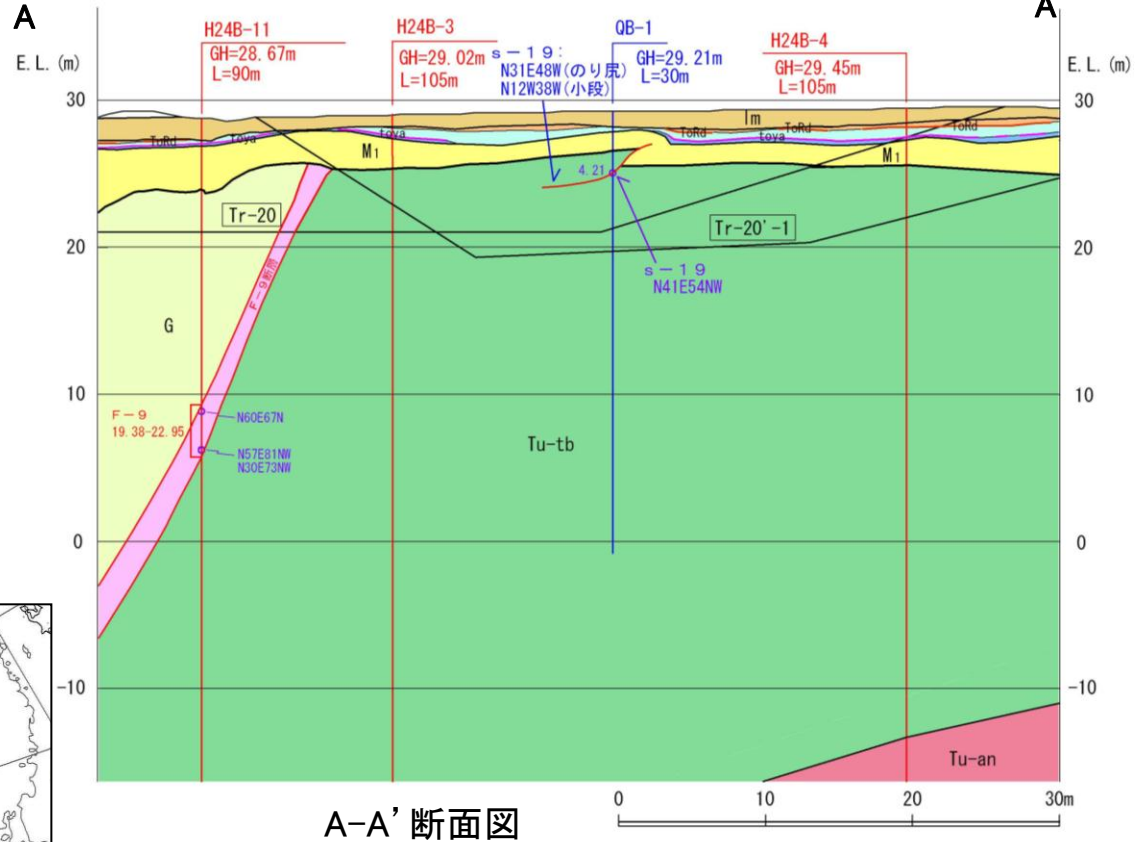
W ←

→ E

凡例

H24B-15.....ボーリング孔名  
 GH=27.50m.....孔口標高  
 L=90m.....掘進長

地質凡例

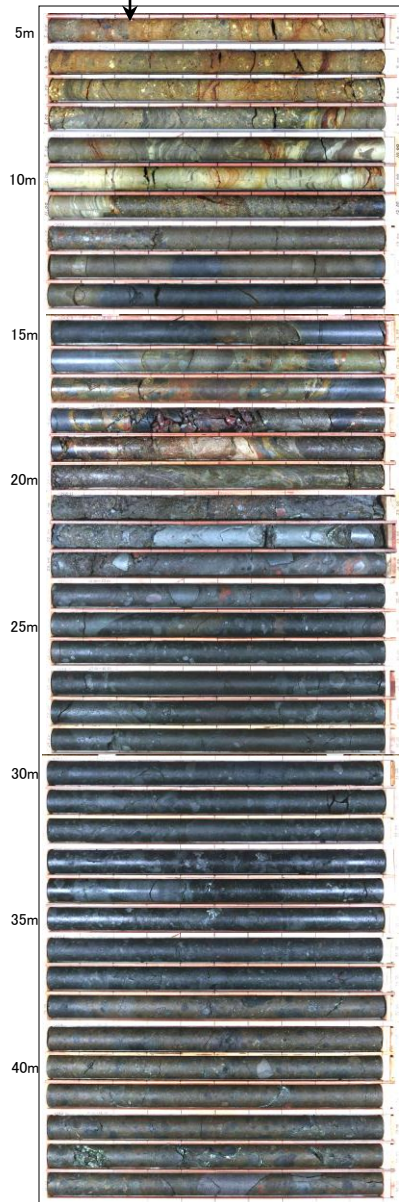


小断層s-19はトレンチ内で消滅することが確認されている。

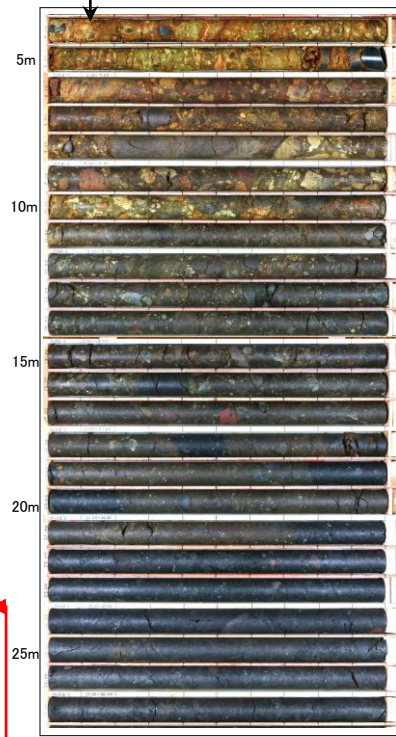
図2-11 小断層s-19の連続性確認

# 小断層s-19の連続性確認

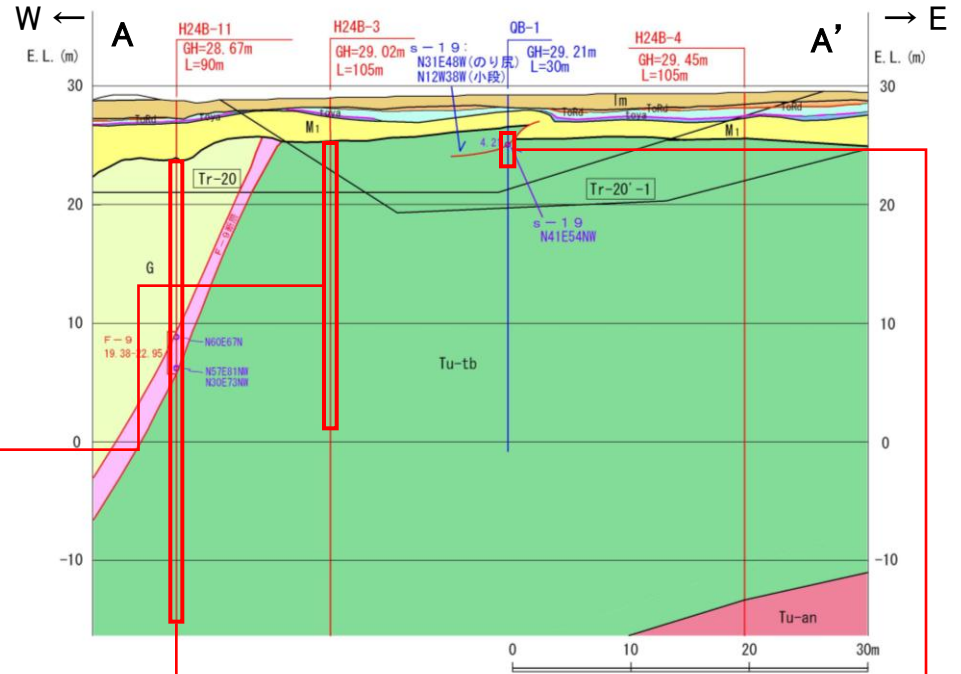
H24B-11孔 コア写真(5~45m)  
(岩盤上面)



H24B-3孔 コア写真(4~28m)  
(岩盤上面)



小断層s-19延長部付近:  
小断層s-19に相当する破砕部は認められない。



QB-1孔 コア写真(3~6m)

小断層s-19 N41E54NW



小断層s-19は、ボーリングQB-1孔で確認されていたが、追加ボーリング調査の結果、QB-1孔より西側のボーリングでは確認されなかった。

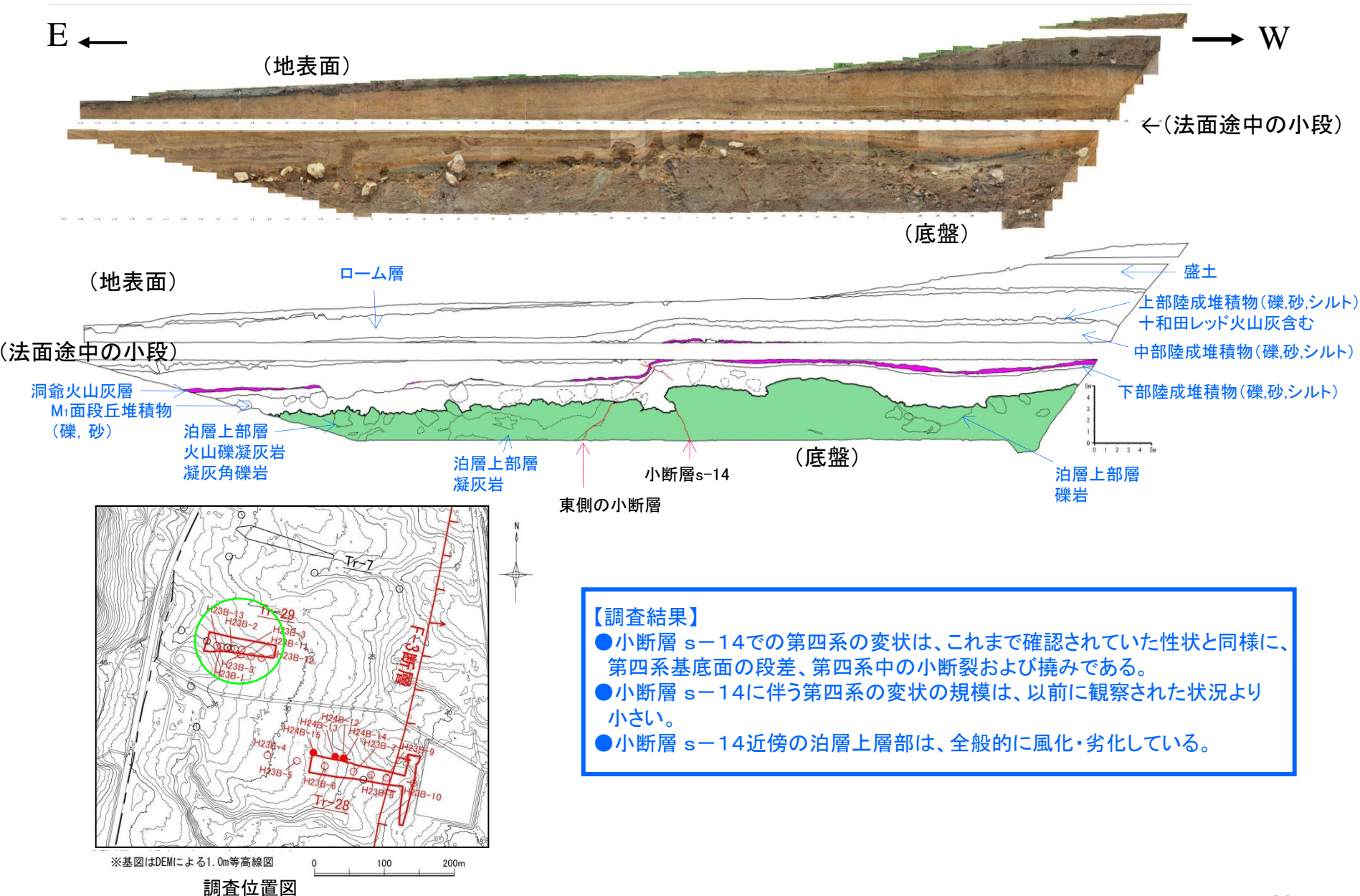
小断層s-19延長部付近:  
小断層s-19に相当する破砕部は認められない。

図2-12 小断層s-19の連続性確認

# 3. 小断層s-14の地下 深部への連続性および 性状の確認に関する調査状況

トレンチ調査⑤ (Tr-29)

# Tr-29トレンチ(南面)調査結果概要



**【調査結果】**

- 小断層 s-14 での第四系の変状は、これまで確認されていた性状と同様に、第四系基底面の段差、第四系中の小断裂および撓みである。
- 小断層 s-14 に伴う第四系の変状の規模は、以前に観察された状況より小さい。
- 小断層 s-14 近傍の泊層上部層は、全般的に風化・劣化している。

図3-6 Tr-29トレンチ(南面)調査結果概要

# Tr-29南面 小断層 s-14 付近拡大図

(地表面)

E ←



→ W

←(法面途中の小段)



(底盤)

小断層 s-14

(N2~22° E48~54° W, 破碎幅1~30cm)

東側の小断層

(N12~37° E28~70° E, 破碎幅0.5~5cm)

- 段差: 高さ約10cm以上
- 小断裂: N80° W~24° E27~30° E

- 撓み: 高さ約1.3m, 幅約11m(洞爺火山灰層)
- 段差: 高さ約90cm(岩盤上面)
- 小断裂: 見かけ鉛直変位最大約15cm, N8° W~32° E20~22° W



図3-5 Tr-29南面 小断層s-14付近拡大図



# 小断層s-14の連続性確認(2)

H23B-13孔 コア写真(19~24m)



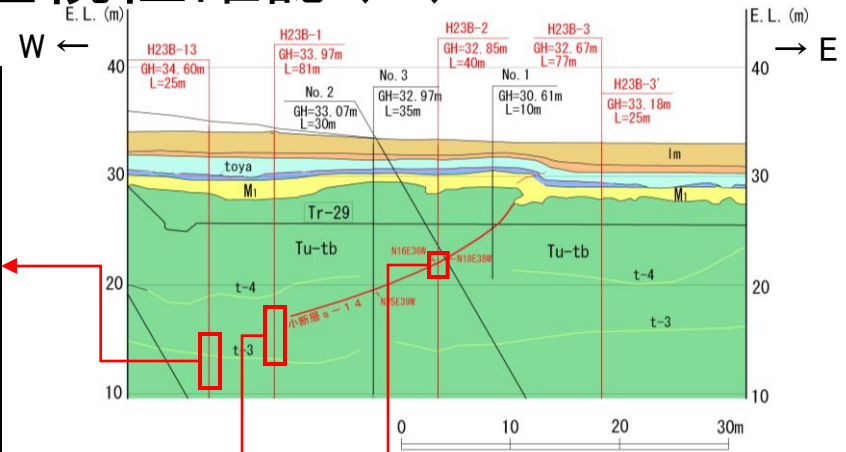
小断層s-14 延長部付近: 小断層s-14 に相当する破砕部は認められない。

H23B-1孔 コア写真(16~21m)



小断層s-14 延長部付近: 小断層s-14 に相当する破砕部は認められない。

H23B-2孔 コア写真(10~12m)



小断層s-14 N16E36W

**【調査結果】**  
 ● 既存ボーリング調査の結果では、小断層 s-14 の地下延長想定位置付近のコアには相当する破砕部は認められない。

図3-8 小断層s-14の連続性確認(2)